

УДК 539.3

DOI: https://doi.org/10.54341/20778708_2025_1_62_31
EDN: RTQKOE

ДЕФОРМИРОВАНИЕ УПРУГОПЛАСТИЧЕСКОЙ ПРЯМОУГОЛЬНОЙ ТРЕХСЛОЙНОЙ ПЛАСТИНЫ СО СЖИМАЕМЫМ ЗАПОЛНИТЕЛЕМ В ТЕРМОРАДИАЦИОННОМ ПОЛЕ

А.С. Мельникова*Белорусский государственный университет транспорта, Гомель*

DEFORMATION OF ELASTOPLASTIC RECTANGULAR THREE-LAYER PLATE WITH COMPRESSIBLE FILLER IN THERMORADIATION FIELD

A.S. Melnikova*Belarusian State University of Transport, Gomel*

Аннотация. Исследовано деформирование несимметричных по толщине упругопластических трехслойных пластин со сжимаемым наполнителем при действии терморadiационных нагрузок. Кинематические гипотезы основаны на гипотезе ломаной линии: для внешних слоев принимаются гипотезы Кирхгофа, в жестком сжимаемом наполнителе деформированная нормаль остается прямолинейной. На границах контакта используются условия непрерывности перемещений. Получена система уравнений равновесия и ее аналитическое решение в перемещениях.

Ключевые слова: пластичность, трехслойная прямоугольная пластина, терморadiационная нагрузка, сжимаемый наполнитель.

Для цитирования: Мельникова, А.С. Деформирование упругопластической прямоугольной трехслойной пластины со сжимаемым наполнителем в терморadiационном поле / А.С. Мельникова // Проблемы физики, математики и техники. – 2025. – № 1 (62). – С. 31–36. – DOI: https://doi.org/10.54341/20778708_2025_1_62_31. – EDN: RTQKOE

Abstract. The deformation of asymmetrical in thickness elastioplastic three-layer plates with compressible filler under the action of thermoradiation loads is investigated. Kinematic hypotheses are based on the hypothesis of a broken line: for the outer layers, Kirchhof's hypotheses are accepted, in a rigid compressible filler the deformed normal remains rectilinear. At the contact boundaries, the conditions of continuity of displacements are used. A system of equilibrium equations and its analytical solution in displacements are obtained.

Keywords: plasticity, three-layer rectangular plate, thermal radiation load, compressible filler.

For citation: Melnikova, A.S. Deformation of elastioplastic rectangular three-layer plate with compressible filler in thermoradiation field / A.S. Melnikova // Problems of Physics, Mathematics and Technics. – 2025. – № 1 (62). – P. 31–36. – DOI: https://doi.org/10.54341/20778708_2025_1_62_31 (in Russian). – EDN: RTQKOE

Введение

В современном мире сложно представить отрасли промышленности, где не нашлось бы применение трехслойных конструкций, так, например, в строительстве широкое распространение получили сэндвич панели, в авиастроении трехслойные конструкции используются в качестве покрытия самолетов и космических аппаратов, в судостроении – покрытия бортов. Трехслойные конструкции позволяют достичь существенного снижения массы и повышения жесткости. Постепенно повышаются и требования по прочности и весу, чтобы сделать использование таких конструкций ещё более эффективным. В связи с этим возникает необходимость разработки новых и уточнения уже существующих методов их расчета.

В монографиях [1]–[3] приведены различные кинематические и математические модели деформирования трехслойных инженерных

конструкций. В публикациях [4]–[8] рассмотрено поведение слоистых конструкций при воздействии на них температуры. Деформирование круглых пластин при воздействии на них нейтронного потока представлено в работах [9]–[10]. В [11] проведен анализ напряженного состояния в слоистом теле при взаимодействии цилиндрического индентора с упругим покрытием. В работах [12]–[14] исследовано динамическое воздействие на неоднородные элементы конструкций. Здесь выполнена постановка и решение задачи о деформировании упругопластической прямоугольной трехслойной пластины со сжимаемым наполнителем в терморadiационном поле.

1 Постановка краевой задачи

Рассматривается несимметричная по толщине трехслойная прямоугольная пластина, состоящая из двух несущих слоев и сжимаемого наполнителя. Постановка задачи дается в прямоугольной

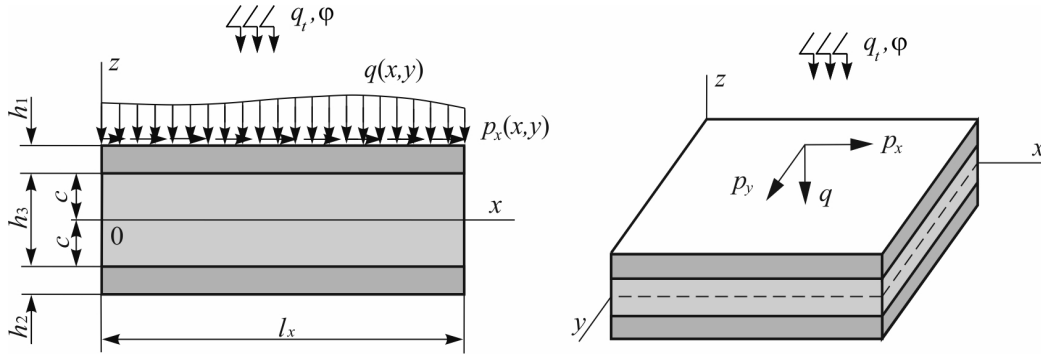


Рисунок 1.1 – Расчетная схема пластины

системе координат, где ось x проходит вдоль срединной плоскости заполнителя (рисунок 1.1).

Для изотропных несущих слоев приняты гипотезы Кирхгофа. В жестком заполнителе справедливы точные соотношения теории упругости с линейной аппроксимацией перемещений его точек от поперечной координаты z . На границах контакта используются условия непрерывности перемещений. Материалы несущих слоев несжимаемы в поперечном и продольном направлении, в заполнителе учитывается обжатие. Деформации малые.

2 Решение краевой задачи

Упругопластическая пластина находится в температурном поле $T_k(z)$ (k – номер слоя) и облучается нейтронным потоком $I = \varphi t$ (φ – интенсивность потока в нейтрон/с, t – время). Допустим, что в начальный момент времени на трехслойную пластину со сжимаемым заполнителем, находящуюся в естественном состоянии, начинают действовать внешние распределенные нагрузки $q(x)$, $p_x(x)$.

В слоях используем физические уравнения состояния, соответствующие теории малых упругопластических деформаций:

$$s_{ij}^{(k)} = 2G_k(T_k) \left(1 - \omega^{(k)}(\varepsilon_u^{(k)}, T_k, I) \right) \varepsilon_{ij}^{(k)},$$

$$\sigma^{(k)} = 3K_k(T_k) (\varepsilon^{(k)} - \alpha_{0k} \Delta T_k - BI)$$

$$(i, j = x, y, z, k = 1, 2, 3). \quad (2.1)$$

Уравнения равновесия термоупругопластической пластины были получены ранее в [7]. Отличием является то, что здесь функция пластичности зависит не только от интенсивности деформаций и температуры, но также и от величины нейтронного потока $\omega^{(k)}(\varepsilon_u^{(k)}, T_k, I)$. Ее при $\varepsilon_u^{(k)} \leq \varepsilon_\tau^{(k)}(T_k, I)$ следует положить равной нулю. Интегральный нейтронный поток в пределах малых доз облучения приводит к увеличению радиационного упрочнения материала и росту предела текучести. Радиационное увеличение объемной деформации учитывается величиной BI , где B – константа.

Исходя из соотношений (2.1) выделим в тензоре напряжений упругие (с индексом «0») и нелинейные (с индексом « ω ») слагаемые, которые будут включать и терморрадиационные добавки:

– в несущих слоях

$$\sigma_{xx}^{(k)} = \sigma_{xx}^{(k)0} - \sigma_{xx}^{(k)\omega},$$

$$\sigma_{xx}^{(k)0} = K_k^+(T_k) \varepsilon_{xx}^{(k)} + K_k^-(T_k) \varepsilon_{yy}^{(k)},$$

$$\sigma_{xx}^{(k)\omega} = \frac{2}{3} G_k(T_k) (2\varepsilon_{xx}^{(k)} - \varepsilon_{yy}^{(k)}) \omega^{(k)} +$$

$$+ 3K_k(T_k) \alpha_{0k} \Delta T_k + BI,$$

$$\sigma_{yy}^{(k)} = \sigma_{yy}^{(k)0} - \sigma_{yy}^{(k)\omega},$$

$$\sigma_{yy}^{(k)0} = K_k^+(T_k) \varepsilon_{yy}^{(k)} + K_k^-(T_k) \varepsilon_{xx}^{(k)},$$

$$\sigma_{yy}^{(k)\omega} = \frac{2}{3} G_k(T_k) (2\varepsilon_{yy}^{(k)} - \varepsilon_{xx}^{(k)}) \omega^{(k)} +$$

$$+ 3K_k(T_k) \alpha_{0k} \Delta T_k + BI,$$

$$\sigma_{xy}^{(k)} = \sigma_{xy}^{(k)0} - \sigma_{xy}^{(k)\omega},$$

$$\sigma_{xy}^{(k)0} = 2G_k(T_k) \varepsilon_{xy}^{(k)} = 2G_k(T_k) \varepsilon_{xy}^{(k)},$$

$$\sigma_{xy}^{(k)\omega} = 2G_k(T_k) \varepsilon_{xy}^{(k)} \omega^{(k)} = 2G_k(T_k) \varepsilon_{xy}^{(k)} \omega^{(k)};$$

– в заполнителе

$$\sigma_{xx}^{(3)} = \sigma_{xx}^{(3)0} - \sigma_{xx}^{(3)\omega},$$

$$\sigma_{xx}^{(3)0} = K_3^+(T_3) \varepsilon_{xx}^{(3)} + K_3^-(T_3) (\varepsilon_{yy}^{(3)} + \varepsilon_{zz}^{(3)}),$$

$$\sigma_{xx}^{(3)\omega} = \frac{2}{3} G_3(T_3) (2\varepsilon_{xx}^{(3)} - \varepsilon_{yy}^{(3)} - \varepsilon_{zz}^{(3)}) \omega^{(3)} +$$

$$+ 3K_3(T_3) \alpha_{03} \Delta T_3 + BI,$$

$$\sigma_{yy}^{(3)} = \sigma_{yy}^{(3)0} - \sigma_{yy}^{(3)\omega},$$

$$\sigma_{yy}^{(3)0} = K_3^+(T_3) \varepsilon_{yy}^{(3)} + K_3^-(T_3) \varepsilon_{xx}^{(3)} + K_3^-(T_3) \varepsilon_{zz}^{(3)},$$

$$\sigma_{yy}^{(3)\omega} = \frac{2}{3} G_3(T_3) (2\varepsilon_{yy}^{(3)} - \varepsilon_{xx}^{(3)} - \varepsilon_{zz}^{(3)}) \omega^{(3)} +$$

$$+ 3K_3(T_3) \alpha_{03} \Delta T_3 + BI,$$

$$\sigma_{zz}^{(3)} = \sigma_{zz}^{(3)0} - \sigma_{zz}^{(3)\omega},$$

$$\sigma_{zz}^{(3)0} = K_3^+(T_3) \varepsilon_{zz}^{(3)} + K_3^-(T_3) (\varepsilon_{xx}^{(3)} + \varepsilon_{yy}^{(3)}),$$

$$\sigma_{zz}^{(3)\omega} = \frac{2}{3} G_3(T_3) (2\varepsilon_{zz}^{(3)} - \varepsilon_{xx}^{(3)} - \varepsilon_{yy}^{(3)}) \omega^{(3)} +$$

$$+ 3K_3(T_3) \alpha_{03} \Delta T_3 + BI,$$

$$\begin{aligned} \sigma_{xy}^{(3)} &= \sigma_{xy}^{(3)0} - \sigma_{xy}^{(3)\omega}, \\ \sigma_{xy}^{(3)0} &= 2G_3(T_3)\varepsilon_{xy}^{(3)}, \quad \sigma_{xy}^{(3)\omega} = 2G_3(T_3)\varepsilon_{xy}^{(3)}\omega^{(3)}, \\ \sigma_{xz}^{(3)} &= \sigma_{xz}^{(3)0} - \sigma_{xz}^{(3)\omega}, \quad \sigma_{xz}^{(3)0} = 2G_3(T_3)\varepsilon_{xz}^{(3)}, \\ \sigma_{xz}^{(3)\omega} &= 2G_3(T_3)\varepsilon_{xz}^{(3)}\omega^{(3)}, \quad \sigma_{yz}^{(3)} = \sigma_{yz}^{(3)0} - \sigma_{yz}^{(3)\omega}, \\ \sigma_{yz}^{(3)0} &= 2G_3(T_3)\varepsilon_{yz}^{(3)}, \quad \sigma_{yz}^{(3)\omega} = 2G_3(T_3)\varepsilon_{yz}^{(3)}\omega^{(3)}, \\ K_k^+(T_k) &= K_k(T_k) + \frac{4}{3}G_k(T_k), \\ K_k^-(T_k) &= K_k(T_k) - \frac{2}{3}G_k(T_k). \end{aligned} \quad (2.2)$$

Проведем подобную (2.2) операцию с внутренними усилиями, получим

– в несущих слоях

$$\begin{aligned} N_{xx}^{(k)0} &= \int_{h_k} \sigma_{xx}^{(k)0} dz = \int_{h_k} (K_k^+(T_k)\varepsilon_{xx}^{(k)} + K_k^-(T_k)\varepsilon_{yy}^{(k)}) dz, \\ N_{xx}^{(k)\omega} &= \int_{h_k} \sigma_{xx}^{(k)\omega} dz = \frac{2}{3} \int_{h_k} G_k(T_k)(2\varepsilon_{xx}^{(k)} - \varepsilon_{yy}^{(k)})\omega^{(k)} dz + \\ &\quad + \int_{h_k} (3K_k(T_k)\alpha_{0k}\Delta T_k + BI) dz, \\ N_{yy}^{(k)0} &= \int_{h_k} \sigma_{yy}^{(k)0} dz = \int_{h_k} (K_k^+(T_k)\varepsilon_{yy}^{(k)} + K_k^-(T_k)\varepsilon_{xx}^{(k)}) dz, \\ N_{yy}^{(k)\omega} &= \int_{h_k} \sigma_{yy}^{(k)\omega} dz = \frac{2}{3} \int_{h_k} G_k(T_k)(2\varepsilon_{yy}^{(k)} - \varepsilon_{xx}^{(k)})\omega^{(k)} dz + \\ &\quad + \int_{h_k} (3K_k(T_k)\alpha_{0k}\Delta T_k + BI) dz, \\ M_{xx}^{(k)0} &= \int_{h_k} \sigma_{xx}^{(k)0} z dz = \int_{h_k} (K_k^+(T_k)\varepsilon_{xx}^{(k)} + K_k^-(T_k)\varepsilon_{yy}^{(k)}) z dz, \\ M_{xx}^{(k)\omega} &= \int_{h_k} \sigma_{xx}^{(k)\omega} z dz = \frac{2}{3} \int_{h_k} G_k(T_k)(2\varepsilon_{xx}^{(k)} - \varepsilon_{yy}^{(k)})\omega^{(k)} z dz + \\ &\quad + \int_{h_k} (3K_k(T_k)\alpha_{0k}\Delta T_k + BI) z dz, \\ M_{yy}^{(k)0} &= \int_{h_k} \sigma_{yy}^{(k)0} z dz = \int_{h_k} (K_k^+(T_k)\varepsilon_{yy}^{(k)} + K_k^-(T_k)\varepsilon_{xx}^{(k)}) z dz, \\ M_{yy}^{(k)\omega} &= \int_{h_k} \sigma_{yy}^{(k)\omega} z dz = \frac{2}{3} \int_{h_k} G_k(T_k)(2\varepsilon_{yy}^{(k)} - \varepsilon_{xx}^{(k)})\omega^{(k)} z dz + \\ &\quad + \int_{h_k} (3K_k(T_k)\alpha_{0k}\Delta T_k + BI) z dz, \\ M_{xy}^{(k)0} &= \int_{h_k} \sigma_{xy}^{(k)0} z dz = 2 \int_{h_k} G_k(T_k)\varepsilon_{xy}^{(k)} z dz, \\ M_{xy}^{(k)\omega} &= \int_{h_k} \sigma_{xy}^{(k)\omega} z dz = 2 \int_{h_k} G_k(T_k)\varepsilon_{xy}^{(k)}\omega^{(k)} z dz, \\ Q_{xy}^{(k)0} &= \int_{h_k} \sigma_{xy}^{(k)0} dz = 2 \int_{h_k} G_k(T_k)\varepsilon_{xy}^{(k)} dz, \\ Q_{xy}^{(k)\omega} &= \int_{h_k} \sigma_{xy}^{(k)\omega} dz = 2 \int_{h_k} G_k(T_k)\varepsilon_{xy}^{(k)}\omega^{(k)} dz; \end{aligned}$$

– в наполнителе

$$\begin{aligned} N_{xx}^{(3)0} &= \int_{h_3} \sigma_{xx}^{(3)0} dz = \\ &= \int_{h_3} (K_3^+(T_3)\varepsilon_{xx}^{(3)} + K_3^-(T_3)(\varepsilon_{yy}^{(3)} + \varepsilon_{zz}^{(3)})) dz, \\ N_{xx}^{(3)\omega} &= \int_{h_3} \sigma_{xx}^{(3)\omega} dz = \\ &= \frac{2}{3} \int_{h_3} G_3(T_3)(2\varepsilon_{xx}^{(3)} - \varepsilon_{yy}^{(3)} - \varepsilon_{zz}^{(3)})\omega^{(3)} dz + \\ &\quad + \int_{h_3} (3K_3(T_3)\alpha_{03}\Delta T_3 + BI) dz, \\ N_{yy}^{(3)0} &= \int_{h_3} \sigma_{yy}^{(3)0} dz = \\ &= \int_{h_3} (K_3^+(T_3)\varepsilon_{yy}^{(3)} + K_3^-(T_3)(\varepsilon_{xx}^{(3)} + \varepsilon_{zz}^{(3)})) dz, \\ N_{yy}^{(3)\omega} &= \int_{h_3} \sigma_{yy}^{(3)\omega} dz = \\ &= \frac{2}{3} \int_{h_3} G_3(T_3)(2\varepsilon_{yy}^{(3)} - \varepsilon_{xx}^{(3)} - \varepsilon_{zz}^{(3)})\omega^{(3)} dz + \\ &\quad + \int_{h_3} (3K_3(T_3)\alpha_{03}\Delta T_3 + BI) dz, \\ N_{zz}^{(3)0} &= \int_{h_3} \sigma_{zz}^{(3)0} dz = \\ &= \int_{h_3} (K_3^+(T_3)\varepsilon_{zz}^{(3)} + K_3^-(T_3)(\varepsilon_{xx}^{(3)} + \varepsilon_{yy}^{(3)})) dz, \\ N_{zz}^{(3)\omega} &= \int_{h_3} \sigma_{zz}^{(3)\omega} dz = \\ &= \frac{2}{3} \int_{h_3} G_3(T_3)(2\varepsilon_{zz}^{(3)} - \varepsilon_{xx}^{(3)} - \varepsilon_{yy}^{(3)})\omega^{(3)} dz + \\ &\quad + \int_{h_3} (3K_3(T_3)\alpha_{03}\Delta T_3 + BI) dz, \\ M_{xx}^{(3)0} &= \int_{h_3} \sigma_{xx}^{(3)0} z dz = \\ &= \int_{h_3} (K_3^+(T_3)\varepsilon_{xx}^{(3)} + K_3^-(T_3)(\varepsilon_{yy}^{(3)} + \varepsilon_{zz}^{(3)})) z dz, \\ M_{xx}^{(3)\omega} &= \int_{h_3} \sigma_{xx}^{(3)\omega} z dz = \\ &= \frac{2}{3} \int_{h_3} G_3(T_3)(2\varepsilon_{xx}^{(3)} - \varepsilon_{yy}^{(3)} - \varepsilon_{zz}^{(3)})\omega^{(3)} z dz + \\ &\quad + \int_{h_3} (3K_3(T_3)\alpha_{03}\Delta T_3 + BI) z dz, \\ M_{yy}^{(3)0} &= \int_{h_3} \sigma_{yy}^{(3)0} z dz = \\ &= \int_{h_3} (K_3^+(T_3)\varepsilon_{yy}^{(3)} + K_3^-(T_3)(\varepsilon_{xx}^{(3)} + \varepsilon_{zz}^{(3)})) z dz, \end{aligned}$$

$$\begin{aligned}
 M_{yy}^{(3)\omega} &= \int_{h_3} \sigma_{yy}^{(3)\omega} dz = \\
 &= \frac{2}{3} \int_{h_3} G_3(T_3) (2\varepsilon_{yy}^{(3)} - \varepsilon_{xx}^{(3)} - \varepsilon_{zz}^{(3)}) \omega^{(3)} dz + \\
 &\quad + \int_{h_3} (3K_3(T_3) \alpha_{03} \Delta T_3 + BI) dz, \\
 M_{xy}^{(3)0} &= \int_{h_3} \sigma_{xy}^{(3)0} dz = 2 \int_{h_3} G_3(T_3) \varepsilon_{xy}^{(3)} dz, \\
 M_{xy}^{(3)\omega} &= \int_{h_3} \sigma_{xy}^{(3)\omega} dz = 2 \int_{h_3} G_3(T_3) \varepsilon_{xy}^{(3)} \omega^{(3)} dz, \\
 M_{xz}^{(3)0} &= \int_{h_3} \sigma_{xz}^{(3)0} dz = 2 \int_{h_3} G_3(T_3) \varepsilon_{xz}^{(3)} dz, \\
 M_{xz}^{(3)\omega} &= \int_{h_3} \sigma_{xz}^{(3)\omega} dz = 2 \int_{h_3} G_3(T_3) \varepsilon_{xz}^{(3)} \omega^{(3)} dz, \\
 M_{yz}^{(3)0} &= \int_{h_3} \sigma_{yz}^{(3)0} dz = 2 \int_{h_3} G_3(T_3) \varepsilon_{yz}^{(3)} dz, \\
 M_{yz}^{(3)\omega} &= \int_{h_3} \sigma_{yz}^{(3)\omega} dz = 2 \int_{h_3} G_3(T_3) \varepsilon_{yz}^{(3)} \omega^{(3)} dz, \\
 Q_{xy}^{(3)0} &= \int_{h_3} \sigma_{xy}^{(3)0} dz = 2 \int_{h_3} G_3(T_3) \varepsilon_{xy}^{(3)} dz, \\
 Q_{xy}^{(3)\omega} &= \int_{h_3} \sigma_{xy}^{(3)\omega} dz = 2 \int_{h_3} G_3(T_3) \varepsilon_{xy}^{(3)} \omega^{(3)} dz, \\
 Q_{xz}^{(3)0} &= \int_{h_3} \sigma_{xz}^{(3)0} dz = 2 \int_{h_3} G_3(T_3) \varepsilon_{xz}^{(3)} dz, \\
 Q_{xz}^{(3)\omega} &= \int_{h_3} \sigma_{xz}^{(3)\omega} dz = 2 \int_{h_3} G_3(T_3) \varepsilon_{xz}^{(3)} \omega^{(3)} dz, \\
 Q_{yz}^{(3)0} &= \int_{h_3} \sigma_{yz}^{(3)0} dz = 2 \int_{h_3} G_3(T_3) \varepsilon_{yz}^{(3)} dz, \\
 Q_{yz}^{(3)\omega} &= \int_{h_3} \sigma_{yz}^{(3)\omega} dz = 2 \int_{h_3} G_3(T_3) \varepsilon_{yz}^{(3)} \omega^{(3)} dz. \quad (2.3)
 \end{aligned}$$

Обобщенные усилия также разбиваются на линейные и нелинейные слагаемые. Система уравнений равновесия в обобщенных усилиях и силовые граничные условия приводятся к виду, совпадающему с [7], только входящие в них дополнительные составляющие (с индексом « ω ») вычисляются через напряжения и деформации по формулам (2.3), учитывающими и нейтронный поток. Подставив в уравнения равновесия в обобщенных усилиях выражения линейных и нелинейных составляющих внутренних усилий через искомые функции u_{1x} , u_{1y} , u_{2x} , u_{2y} , w_1 , w_2 получим систему нелинейных дифференциальных уравнений равновесия в перемещениях, описывающую изгиб упругопластической пластины в терморadiационном поле. Система

уравнений в итерационном виде выглядит следующим образом

$$\begin{aligned}
 &a_1 u_{1x}^n - a_1 u_{2x}^n - a_4 u_{1x}^n{}_{,xx} - a_5 u_{2x}^n{}_{,xx} - a_{19} u_{1x}^n{}_{,yy} - \\
 &\quad - a_{18} u_{2x}^n{}_{,yy} - a_{21} u_{1y}^n{}_{,xy} - a_{23} u_{2y}^n{}_{,xy} + \\
 &\quad + a_2 w_1^n{}_{,x} + a_3 w_2^n{}_{,x} - 2a_{24} w_1^n{}_{,xyy} + \\
 &\quad + a_{25} w_2^n{}_{,xyy} - 2a_6 w_1^n{}_{,xxx} + a_7 w_2^n{}_{,xxx} = p_x + p_\omega^{n-1}, \\
 &- a_1 u_{1x}^n + a_1 u_{2x}^n - a_5 u_{1x}^n{}_{,xx} - a_9 u_{2x}^n{}_{,xx} - a_{18} u_{1x}^n{}_{,yy} - \\
 &\quad - a_{20} u_{2x}^n{}_{,yy} - a_{23} u_{1y}^n{}_{,xy} - a_{22} u_{2y}^n{}_{,xy} - a_{10} w_1^n{}_{,x} - \\
 &\quad - a_{17} w_2^n{}_{,x} - a_{24} w_1^n{}_{,xyy} + 2a_{25} w_2^n{}_{,xyy} - \\
 &\quad - a_6 w_1^n{}_{,xxx} + 2a_7 w_2^n{}_{,xxx} = s_\omega^{n-1}, \\
 &a_1 u_{1y}^n - a_1 u_{2y}^n - a_4 u_{1y}^n{}_{,yy} - a_5 u_{2y}^n{}_{,yy} - a_{19} u_{1y}^n{}_{,xx} - \\
 &\quad - a_{18} u_{2y}^n{}_{,xx} - a_{21} u_{1x}^n{}_{,xy} - a_{23} u_{2x}^n{}_{,xy} + a_2 w_1^n{}_{,y} + \\
 &\quad + a_3 w_2^n{}_{,y} - 2a_{24} w_1^n{}_{,xxy} + a_{25} w_2^n{}_{,xxy} - \\
 &\quad - 2a_6 w_1^n{}_{,yyy} + a_7 w_2^n{}_{,yyy} = p_y + h_\omega^{n-1}, \\
 &- a_1 u_{1y}^n + a_1 u_{2y}^n - a_5 u_{1y}^n{}_{,yy} - a_9 u_{2y}^n{}_{,yy} - a_{18} u_{1y}^n{}_{,xx} - \\
 &\quad - a_{20} u_{2y}^n{}_{,xx} - a_{23} u_{1x}^n{}_{,xy} - a_{22} u_{2x}^n{}_{,xy} - a_{10} w_1^n{}_{,y} - \\
 &\quad - a_{17} w_2^n{}_{,y} - a_{24} w_1^n{}_{,xxy} + 2a_{25} w_2^n{}_{,xxy} - \\
 &\quad - a_6 w_1^n{}_{,yyy} + 2a_7 w_2^n{}_{,yyy} = r_\omega^{n-1}, \\
 &- a_2 u_{1x}^n{}_{,x} - a_2 u_{1y}^n{}_{,y} + a_{10} u_{2x}^n{}_{,x} + a_{10} u_{2y}^n{}_{,y} + \\
 &\quad + 2a_6 u_{1x}^n{}_{,xxx} + a_6 u_{2x}^n{}_{,xxx} + 2a_6 u_{1y}^n{}_{,yyy} + a_6 u_{2y}^n{}_{,yyy} + \\
 &\quad + 2a_{24} u_{1x}^n{}_{,xyy} + a_{24} u_{2x}^n{}_{,xyy} + 2a_{24} u_{1y}^n{}_{,xxy} + \\
 &\quad + a_{24} u_{2y}^n{}_{,xxy} + a_{11} w_1^n{}_{,xx} + a_{11} w_1^n{}_{,yy} - a_{12} w_2^n{}_{,xx} - \\
 &\quad - a_{12} w_2^n{}_{,yy} + a_{15} w_1^n{}_{,xxx} + a_{15} w_1^n{}_{,yyy} - a_{16} w_2^n{}_{,xxx} - \\
 &\quad - a_{16} w_2^n{}_{,yyy} + a_{26} w_1^n{}_{,xxy} - a_{28} w_2^n{}_{,xxy} + \\
 &\quad + a_8 w_1^n - a_8 w_2^n = q + 0, 5 p_x{}_{,x} h_1 + 0, 5 p_y{}_{,y} h_1 + q_\omega^{n-1}, \\
 &\quad - a_3 u_{1y}^n{}_{,y} - a_3 u_{1x}^n{}_{,x} + a_{17} u_{2y}^n{}_{,y} + a_{17} u_{2x}^n{}_{,x} - \\
 &\quad - a_7 u_{1y}^n{}_{,yyy} - a_7 u_{1x}^n{}_{,xxx} - 2a_7 u_{2y}^n{}_{,yyy} - 2a_7 u_{2x}^n{}_{,xxx} - \\
 &\quad - 2a_{27} u_{2y}^n{}_{,xxy} - a_{25} u_{1y}^n{}_{,xxy} - 2a_{25} u_{2x}^n{}_{,xxy} - \\
 &\quad - a_{25} u_{1x}^n{}_{,xyy} - a_{12} w_1^n{}_{,xx} - a_{12} w_1^n{}_{,yy} + a_{14} w_2^n{}_{,xx} + \\
 &\quad + a_{14} w_2^n{}_{,yy} - a_{16} w_1^n{}_{,xxx} - a_{16} w_1^n{}_{,yyy} + a_{13} w_2^n{}_{,xxx} + \\
 &\quad + a_{13} w_2^n{}_{,yyy} - a_{28} w_1^n{}_{,xxy} + a_{27} w_2^n{}_{,xxy} - \\
 &\quad - a_8 w_1^n + a_8 w_2^n = g_\omega^{n-1}, \quad (2.4)
 \end{aligned}$$

где n – номер приближения.

Дополнительные нагрузки с индексом « ω » включают все нелинейные и терморadiационные добавки

$$\begin{aligned}
 p_\omega^{n-1} &= H_{1x}^{\omega(n-1)} - V_1^{\omega(n-1)}{}_{,y} - P_{1x}^{\omega(n-1)}{}_{,x}, \\
 s_\omega^{n-1} &= H_{1x}^{\omega(n-1)} + V_2^{\omega(n-1)}{}_{,y} + P_{2x}^{\omega(n-1)}{}_{,x}, \\
 h_\omega^{n-1} &= H_{1y}^{\omega(n-1)} - V_1^{\omega(n-1)}{}_{,x} - P_{1y}^{\omega(n-1)}{}_{,y}, \\
 r_\omega^{n-1} &= H_{1y}^{\omega(n-1)} + V_2^{\omega(n-1)}{}_{,x} + P_{2y}^{\omega(n-1)}{}_{,y}, \\
 q_\omega^{n-1} &= S_{1x}^{\omega(n-1)}{}_{,xx} + H_2^{\omega(n-1)} - T_{1x}^{\omega(n-1)}{}_{,x} -
 \end{aligned}$$

ЛИТЕРАТУРА

1. Старовойтов, Э.И. Деформирование трёхслойных физически нелинейных стержней / Э.И. Старовойтов, Д.В. Леоненко, Л.Н. Рабинский. – Москва: МАИ, 2016. – 183 с.
2. Журавков, М.А. Математические модели механики твердых тел / М.А. Журавков, Э.И. Старовойтов. – Минск: БГУ, 2021. – 535 с.
3. Старовойтов, Э.И. Трёхслойные стержни в терморadiационных полях / Э.И. Старовойтов, М.А. Журавков, Д.В. Леоненко. – Минск: Беларуская навука, 2017. – 275 с.
4. Старовойтов, Э.И. Деформирование трёхслойного стержня в температурном поле / Э.И. Старовойтов, Д.В. Леоненко // Механика машин, механизмов и материалов. – 2013. – № 1 (22). – С. 31–35.
5. Starovoitov, E.I. Elastic circular sandwich plate with compressible filler under axially symmetrical thermal force load / E.I. Starovoitov, Y.V. Zakharchuk, E.L. Kuznetsova // Journal of the Balkan Tribological Association. – 2021. – Vol. 27, № 2. – P. 175–188.
6. Козел, А. Г. Термоупругий изгиб круговой трёхслойной пластины, связанной с основанием Пастернака / А.Г. Козел // Проблемы физики, математики и техники. – 2022. – № 2 (51). – С. 31–37.
7. Зеленая, А.С. Изгиб термоупругопластической трёхслойной прямоугольной пластины со сжимаемым наполнителем / А.С. Зеленая // Механика. Исследования и инновации: междунар. сб. науч. тр. / Белорус. гос. ун-т. транспорта. – Гомель, 2019. – Вып. 12. – С. 76–84.
8. Нестерович, А.В. Неосесимметричное термосиловое деформирование круговой трёхслойной пластины / А.В. Нестерович // Проблемы физики, математики и техники. – 2016. – № 2 (27). – С. 54–60.
9. Starovoitov, E.I. Impact of thermal and ionizing radiation on a circular sandwich plate on an elastic foundation / E.I. Starovoitov, D.V. Leonenko // International Applied Mechanics. – 2011. – Vol. 47. – № 5. – P. 580–589.
10. Плескачевский, Ю.М. Изгиб трехслойной круговой пластины кольцевой нагрузкой в нейтронном потоке / Ю.М. Плескачевский, Э.И. Старовойтов, Д.В. Леоненко // Актуальные вопросы машиноведения. – 2023. – Т. 12. – С. 47–51.
11. Численный расчет и анализ напряженного состояния в слоистом теле при трении с учетом изменения модулей упругости покрытия и основания / В.В. Можаровский, В.А. Кукареко, С.А. Марьин, А.В. Кушнеров // Проблемы физики, математики и техники. – 2024. – № 1 (58). – С. 22–28.
12. Старовойтов, Э.И. Исследование спектра частот трёхслойной цилиндрической оболочки с упругим наполнителем / Э.И. Старовойтов, Д.В. Леоненко // Механика композиционных материалов и конструкций. – 2015. – Т. 21, № 2. – С. 162–169.
13. Маркова, М.В. Напряжённо-деформированное состояние круговой трёхслойной ступенчатой пластины при вынужденных колебаниях / М.В. Маркова // Механика. Исследования и инновации. – 2022. – № 15. – С. 134–146.
14. Grover, N. An inverse trigonometric shear deformation theory for supersonic flutter characteristics of multilayered composite plates / N. Grover, B.N. Singh, D.K. Maiti // Aerospace Science and Technology. – 2016. – Vol. 52. – P. 41–51.

Работа выполнена при финансовой поддержке Белорусского Республиканского фонда фундаментальных исследований (проект № T24PM-004).

Поступила в редакцию 06.09.2024.

Информация об авторах

Мельникова Анастасия Сергеевна – к.ф.-м.н.